

ETUDE MATHÉMATIQUE ET NUMÉRIQUE DE QUELQUES  
MODÈLES BIOLOGIQUES DU CHEMOSTAT

MODÈLES MATHÉMATIQUES DE DIGESTION ANAÉROBIE

N. ABDELLATIF

ENSI - UNIVERSITÉ DE MANOUBA

LAMSIN - ENIT - UNIVERSITÉ TUNIS EL MANAR

ECOLE CIMPA "VERT NUMÉRIQUE"

HAMMAMET, 24 SEPT - 03 OCT 2022

# La digestion anaérobie (DA)

- La DA est un processus biologique utilisé dans le traitement des eaux usées.
- La matière organique est transformée par des microorganismes en biogaz (méthane et dioxyde de carbone ...) en absence d'oxygène.
- Production de méthane (énergie renouvelable), les systèmes aérobies nécessitent de l'énergie.
- Avantages de la DA :
  - Dégradation d'effluents complexes et concentrés
  - Faible production de boues
  - Faibles coûts

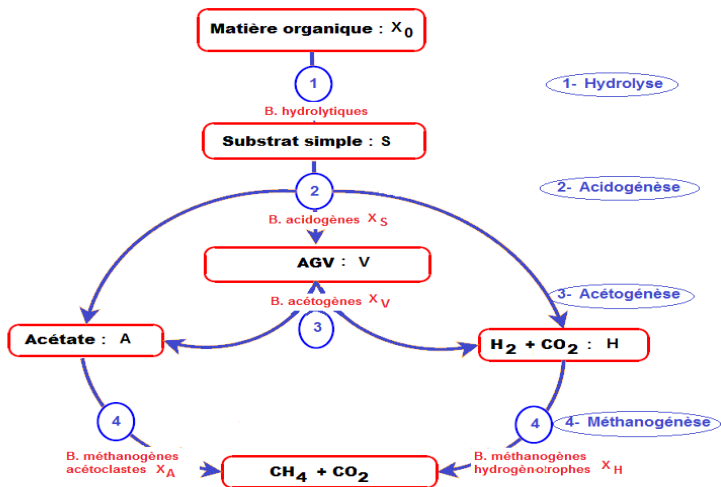


Figure 1 – Le processus de la digestion anaérobie.

- La DA est un processus complexe avec un grand nombre de réactions biologique entre différents types de microorganismes.
- Plusieurs modèles ont été proposés pour décrire ce processus (**ADM1**, modèles à trois étapes, **AM2**...).
- Le modèle **ADM1** (Anaerobic Digestion Model N 1) est le modèle le plus complet pour décrire la DA, avec 32 équations différentielles et un grand nombre de paramètres.
- Des modèles plus simples (à deux étapes, à trois étapes...) ont été utilisés pour le contrôle des digesteurs anaérobie.



$k_i$  les coefficients stochiometriques associés aux bioréactions

$$\begin{cases} \dot{S}_1 &= D(S_1^{in} - S_1) - k_1 \mu_1(S_1) X_1, \\ \dot{X}_1 &= (\mu_1(S_1) - \alpha D) X_1, \\ \dot{S}_2 &= D(S_2^{in} - S_2) + k_2 \mu_1(S_1) X_1 - k_3 \mu_2(S_2) X_2, \\ \dot{X}_2 &= (\mu_2(S_2) - \alpha D) X_2. \end{cases} \quad (1)$$

- Dans la première étape, le substrat  $S_1$  est consommé par les bactéries **acidogènes**  $X_1$  et produit un substrat  $S_2$  (**AGV**)
- Dans la seconde étape, les bactéries **methanogènes**  $X_2$  consomme  $S_2$  et produisent du **méthane**.



Modélisation de l'hydrolyse :

- Phénomène purement enzymatiques **sans compartiment microbien hydrolytique**. La vitesse de réaction

$$r_0 = k_{hyd}X_0.$$

- Le rôle majeur des bactéries hydrolytiques : Substrat lentement biodégradable  $X_0$  peut être dégradé par la bactérie hydrolytique  $X_1$ . La vitesse de réaction

$$r_0 = \mu_0(X_0)X_1.$$

$$\begin{cases} \dot{X}_0 &= DX_{0in} - \alpha DX_0 - r_0, \\ \dot{S}_1 &= D(S_{1in} - S_1) + k_0 r_0 - k_1 \mu_1(S_1) X_1, \\ \dot{X}_1 &= (\mu_1(S_1) - \alpha D) X_1, \\ \dot{S}_2 &= D(S_{2in} - S_2) + k_2 \mu_1(S_1) X_1 - k_3 \mu_2(S_2) X_2, \\ \dot{X}_2 &= (\mu_2(S_2) - \alpha D) X_2, \end{cases} \quad (2)$$

$$D = \frac{Q_{in}}{V} \quad \text{et} \quad \frac{Q_{in} - Q_{out}}{V} = \alpha D, \quad \alpha \in [0, 1].$$



$$r_0 = k_{hyd}X_0$$

$$X_0 \xrightarrow{\text{converge globalement}} X_0^* = \frac{D}{k_{hyd} + \alpha D} X_{0in}.$$

À l'équilibre de  $X_0$ , les quatre dernières équations de (2) se réduisent au modèle AM2

$$\begin{cases} \dot{S}_1 = D(S_{1in}^* - S_1) - k_1\mu_1(S_1)X_1, \\ \dot{X}_1 = [\mu_1(S_1) - \alpha D]X_1, \\ \dot{S}_2 = D(S_{2in} - S_2) + k_2\mu_1(S_1)X_1 - k_3\mu_2(S_2)X_2, \\ \dot{X}_2 = (\mu_2(S_2) - \alpha D)X_2, \end{cases} \quad (3)$$

$$S_{1in}^* = S_{1in} + \frac{k_0k_{hyd}}{k_{hyd} + \alpha D} X_{0in}.$$

À chaque équilibre  $F = (S_1^*, X_1^*, S_2^*, X_2^*)$  de (3) correspond un équilibre  $E = (X_0^*, S_1^*, X_1^*, S_2^*, X_2^*)$  de (2).

La stabilité locale de  $E$  est déduite de celle des équilibres correspondants  $F$  de (2).<sup>2</sup>

---

2. B. Benyahia, T.Sari, B.Cherki, J. Harmand, Bifurcation and stability analysis of a two step model for monitoring anaerobic digestion processes, *Journal of Process Control*, 22 (2012), 1008–1019.

H1 :  $\mu_1'(S_1) > 0$ ,  $\mu_1(0) = 0$  et  $\mu_1(S_1) = \alpha D$  admet une unique solution

$$\lambda_1 = \mu_1^{-1}(\alpha D).$$

H2 :  $\mu_2(\cdot)$  est non monotone,  $\mu_2(0) = 0$  et  $\mu_2(S_2) = \alpha D$  admet deux solutions  $\lambda_2^i$ ,  $i = 1, 2$  :  $\lambda_2^1 < \lambda_2^2$ .

## Proposition

Les points d'équilibre de (2)

- 1  $E_0 = (X_0^*, S_{1in}^*, 0, S_{2in}, 0)$  qui existe toujours.
- 2  $E_1^i = (X_0^*, S_{1in}^*, 0, \lambda_2^i, X_2^i)$  qui existe ssi  $S_{2in} > \lambda_2^i$  ;  
 $X_2^i = \frac{1}{k_3 \alpha} (S_{2in} - \lambda_2^i)$ .
- 3  $E_2^0 = (X_0^*, \lambda_1, X_1^*, S_{2in}^*, 0)$  qui existe ssi  $S_{1in}^* > \lambda_1$  ;  
 $X_1^* = \frac{1}{k_1 \alpha} (S_{1in}^* - \lambda_1)$  et  $S_{2in}^* = S_{2in} + \frac{k_2}{k_1} (S_{1in}^* - \lambda_1)$ .
- 4  $E_2^i = (X_0^*, \lambda_1, X_1^*, \lambda_2^i, X_2^{*i})$  qui existe ssi  $S_{1in}^* > \lambda_1$  et  $S_{2in}^* > \lambda_2^i$  ;  
 $X_2^{*i} = \frac{1}{k_3 \alpha} (S_{2in}^* - \lambda_2^i)$ .

La condition d'existence de  $X_1$  dans AM2 est  $\lambda_1 < S_{1in}$ . La condition d'existence de  $X_1$  dans le modèle d'hydrolyse devient  $\lambda_1 < S_{1in}^*$ .

$$\begin{cases} \dot{X}_0 = D(X_{0in} - \alpha X_0) - \mu_0(X_0)X_1, \\ \dot{S}_1 = D(S_{1in} - S_1) + k_0\mu_0(X_0)X_1 - k_1\mu_1(S_1)X_1, \\ \dot{X}_1 = [\mu_1(S_1) - \alpha D]X_1. \end{cases} \quad (4)$$

H3 :  $\mu'_0(X_0) > 0$  et  $\mu''_0(X_0) \leq 0$ .

- $X_0 = 0$  : l'équilibre de lessivage  $E_0 = (\frac{X_{0in}}{\alpha}, S_{1in}, 0)$ .
- $X_0 \neq 0$ , alors

$$X_1 = \xi(X_0) = \frac{D(X_{0in} - \alpha X_0)}{\mu_0(X_0)}.$$

et

$$X_1 = \delta(X_0) = \frac{1}{k_1\alpha} [(S_{1in} - \lambda_1) + k_0(X_{0in} - \alpha X_0)].$$

- La fonction  $\xi(\cdot)$  s'annule en  $\frac{X_{0in}}{\alpha}$ , est décroissante et convexe.
- $\xi'(X_0) = -\frac{k_0}{k_1}$  admet une unique solution  $\bar{X}_0 \in ]0, \frac{X_{0in}}{\alpha} [$  ssi

$$\xi' \left( \frac{X_{0in}}{\alpha} \right) > -\frac{k_0}{k_1}.$$

- Soit  $\bar{X}_1 = \xi(\bar{X}_0)$  et  $\bar{S}_{1in}$  la valeur de  $S_{1in}$  telle que  $\bar{X}_1 = \delta(\bar{X}_0)$ .

### Proposition

- Si  $S_{1in} < \bar{S}_{1in}$ , alors il n'existe aucun équilibre strictement positif.
- Si  $S_{1in} = \bar{S}_{1in}$ , alors il existe un unique équilibre strictement positif  $\bar{E}_1$ .
- Si  $\bar{S}_{1in} < S_{1in} < \lambda_1$ , alors il existe deux équilibres strictement positifs  $E_1^*$  et  $E_1^{**}$ .
- Si  $\lambda_1 \leq S_{1in}$ , alors il existe un unique équilibre strictement positif  $E_1^*$ .

$$\text{Cas } \xi'(X_{0in}) \leq -\frac{k_0}{k_1}$$

### Proposition

- Si  $S_{1in} \leq \lambda_1$ , alors il n'existe aucun équilibre strictement positif.
- Si  $S_{1in} > \lambda_1$ , alors il existe un unique équilibre strictement positif  $\bar{E}_1$ .

## Proposition

- $E_0$  est LES ssi  $\mu_1(S_{1in}) < \alpha D$ .
- Si  $E_1^*$  existe, alors il est LES.
- Si  $E_1^{**}$  existe, alors il est instable.

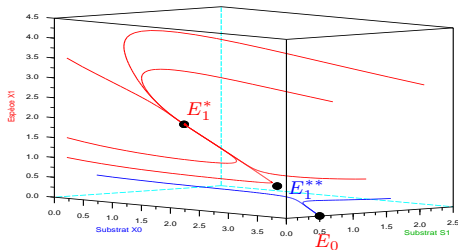


Figure 2 – Bistabilité de  $E_0$  et  $E_1^*$ .

H3 :  $\mu_1$  est positive non monotone,  $\mu_1(0) = 0$  et  $\mu_1(S_1) = \alpha D$  admet deux solutions  $\lambda_1$  et  $\lambda_2$  avec  $\lambda_1 < \lambda_2$ .

- L'équilibre du lessivage existe toujours.
- Il existe 0, 1, ..., 4 équilibres positifs
- Même comportement de stabilité que le cas monotone, sauf pour les équilibres qui correspondent à  $\lambda_2$
- Un équilibre instable et un équilibre qui peut être stable.

3



$$\mu_0(\cdot) = \mu_0(X_0, X_1)$$

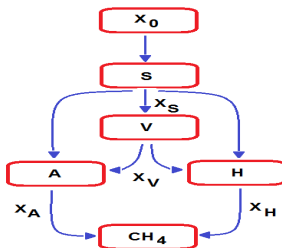
H4 :  $\mu_0(0, X_1) = 0$  et  $\mu_0(X_0, X_1) > 0$

H5 :  $\frac{\partial \mu_0}{\partial X_0}(X_0, X_1) > 0$  et  $\frac{\partial \mu_0}{\partial X_1}(X_0, X_1) < 0$

- L'équilibre du lessivage existe toujours et peut être GAS.
- Multiplicité des équilibres positifs.
- Dans le cas d'un nombre pair, existence d'un équilibre instable et un équilibre qui peut être stable.

4

- 1 Modèle de DA à 4 étapes avec hydrolyse enzymatique
- 2 Modèle de DA à 4 étapes avec hydrolyse microbienne
  - Modèle sans inhibition
  - Modèle avec inhibition



## MODÈLE DE DA À 4 ÉTAPES

$$\left\{ \begin{array}{l} \frac{dS}{dt} = D(S_{in} - S) - \frac{1}{c_s} g_S(S) X_S \\ \frac{dX_S}{dt} = (g_S(S) - D) X_S \\ \frac{dV}{dt} = -DV + \gamma_{sv} g_S(S) X_S - \frac{1}{c_v} g_V(V, H) X_V \\ \frac{dX_V}{dt} = (g_V(V, H) - D) X_V \\ \frac{dA}{dt} = -DA + \gamma_{sa} g_S(S) X_S + \gamma_{va} g_V(V, H) X_V - \frac{1}{c_a} g_A(A) X_A \\ \frac{dX_A}{dt} = (g_A(A) - D) X_A \\ \frac{dH}{dt} = -DH + \gamma_{sh} g_S(S) X_S + \gamma_{vh} g_V(V, H) X_V - \frac{1}{c_h} g_H(H, A) X_H \\ \frac{dX_H}{dt} = (g_H(H, A) - D) X_H. \end{array} \right.$$

M. WEEDERMANN, G. SEO AND G.S.K.WOLKOWICZ, (2013), *Mathematical model of anaerobic digestion in a chemostat : effects of syntrophy and inhibition*; *Journal of Biological Dynamics*, 7(1), pp 59-85.

- $X_{0in}$  est la concentration du substrat lentement dégradable ou matière organique à l'entrée du chimostat,
- $S_{in}$  est la concentration du substrat soluble à l'entrée du chimostat,
- $D$  est le taux de dilution,
- $g_S(\cdot)$ ,  $g_A(\cdot)$ ,  $g_V(\cdot, \cdot)$  et  $g_H(\cdot, \cdot)$  sont les fonctions de croissance microbienne.
- $c_s$ ,  $c_v$ ,  $c_a$ ,  $c_h$  sont les coefficients de rendement des bactéries,
- $\gamma_{sv}$ ,  $\gamma_{sa}$ ,  $\gamma_{sh}$ ,  $\gamma_{va}$ ,  $\gamma_{vh}$  sont des rapports entre le rendement du produit et le rendement de la biomasse,

avec

$$1 + \gamma_{sv} + \gamma_{sa} + \gamma_{sh} \leq \frac{1}{c_s},$$

$$1 + \gamma_{va} + \gamma_{vh} \leq \frac{1}{c_v}, \quad 1 \leq \frac{1}{c_a} \quad \text{et} \quad 1 \leq \frac{1}{c_h}.$$

- $X_{0in}$  est la concentration du substrat lentement dégradable ou matière organique à l'entrée du chimostat,
- $S_{in}$  est la concentration du substrat soluble à l'entrée du chimostat,
- $D$  est le taux de dilution,
- $g_S(\cdot)$ ,  $g_A(\cdot)$ ,  $g_V(\cdot, \cdot)$  et  $g_H(\cdot, \cdot)$  sont les fonctions de croissance microbienne.
- $c_s$ ,  $c_v$ ,  $c_a$ ,  $c_h$  sont les coefficients de rendement des bactéries,
- $\gamma_{sv}$ ,  $\gamma_{sa}$ ,  $\gamma_{sh}$ ,  $\gamma_{va}$ ,  $\gamma_{vh}$  sont des rapports entre le rendement du produit et le rendement de la biomasse,

avec

$$1 + \gamma_{sv} + \gamma_{sa} + \gamma_{sh} \leq \frac{1}{c_s},$$

$$1 + \gamma_{va} + \gamma_{vh} \leq \frac{1}{c_v}, \quad 1 \leq \frac{1}{c_a} \quad \text{et} \quad 1 \leq \frac{1}{c_h}.$$

## MODÈLE DE DA À 4 ÉTAPES AVEC HYDROLYSE

$$\frac{dX_0}{dt} = D(X_{0in} - X_0) - r_0$$

$$\frac{dS}{dt} = D(S_{in} - S) - \frac{1}{c_s} g_S(S) X_S + k_0 r_0$$

$$\frac{dX_S}{dt} = (g_S(S) - D) X_S$$

$$\frac{dV}{dt} = -DV + \gamma_{sv} g_S(S) X_S - \frac{1}{c_v} g_V(V, H) X_V$$

$$\frac{dX_V}{dt} = (g_V(V, H) - D) X_V$$

$$\frac{dA}{dt} = -DA + \gamma_{sa} g_S(S) X_S + \gamma_{va} g_V(V, H) X_V - \frac{1}{c_a} g_A(A) X_A$$

$$\frac{dX_A}{dt} = (g_A(A) - D) X_A$$

$$\frac{dH}{dt} = -DH + \gamma_{sh} g_S(S) X_S + \gamma_{vh} g_V(V, H) X_V - \frac{1}{c_h} g_H(H, A) X_H$$

$$\frac{dX_H}{dt} = (g_H(H, A) - D) X_H.$$

$$r_0 = k_{hyd}X_0$$

$$g_V(V) = g_V(V, 0) \text{ et } g_H(H) = g_H(H, 0)$$

$$(H1) \quad g_S(0) = 0 \text{ et } g'_S(\cdot) > 0 \text{ pour } S > 0.$$

$$(H2) \quad g_V(0) = 0 \text{ et } g'_V(\cdot) > 0 \text{ pour } V > 0.$$

$$(H3) \quad g_A(0) = 0 \text{ et } g'_A(\cdot) > 0 \text{ pour } A > 0.$$

$$(H4) \quad g_H(0) = 0 \text{ et } g'_H(\cdot) > 0 \text{ pour } H > 0.$$

Pour  $l = S, V, A$  et  $H$ , on note  $\lambda_l$  la solution de l'équation  $g_l(\lambda_l) = D$ , si elle existe et  $\lambda_l = +\infty$ , sinon.

## Proposition

*Pour des valeurs initiales positives, les solutions du système (5) restent positives et bornées, pour tout  $t \geq 0$ .*

$$Z = k_0 X_0 + S + \frac{1}{c_s} X_S + V + \frac{1}{c_v} X_V - \gamma_{sv} X_S + A + \frac{1}{c_a} X_A - \gamma_{va} X_V \\ - \gamma_{sa} X_S + H + \frac{1}{c_h} X_H - \gamma_{vh} X_V - \gamma_{sh} X_S.$$

vérifie

$$\frac{dZ}{dt} = D(S_{in}^+ - Z), \text{ avec } S_{in}^+ = (k_0 X_{0in} + S_{in})$$

et

$$Z(t) \leq \max(Z(0), k_0 X_{0in} + S_{in}), \text{ pour tout } t \geq 0.$$



La première équation

$$\frac{dX_0}{dt} = DX_{0in} - (D + k_{hyd})X_0$$

peut être découplée du reste du système.

A l'équilibre,  $X_0$  converge globalement vers  $X_0^* = \frac{D}{D+k_{hyd}}X_{0in}$ .

Les équations en  $S, X_S$  sont indépendantes des variables  $V, A$  et  $H$ .

$$\begin{cases} \frac{dS}{dt} = D(S_{in} - S) - \frac{1}{c_s}g_S(S)X_S + k_0k_{hyd}X_0^* \\ \frac{dX_S}{dt} = (g_S(S) - D)X_S \end{cases} \quad (5)$$

- Si  $S_{in}^* = S_{in} + \frac{k_0k_{hyd}}{D}X_0^* < \lambda_S$  alors  $(S_{in}^*, 0)$  est le seul équilibre de (5). Il est globalement asymptotiquement stable.
- Si  $S_{in}^* > \lambda_S$  alors l'équilibre  $(\lambda_S, X_S^*)$  existe. Il est globalement asymptotiquement stable et l'équilibre  $(S_{in}^*, 0)$  est instable.

Sous les hypothèses **(H1)**-**(H4)**, on a

Équilibre	$X_0$	$S$	$X_S$	$V$	$X_V$	$A$	$X_A$	$H$	$X_H$
$E_l$	$X_0^*$	$S_{in}^*$	0	0	0	0	0	0	0
$E_0$	$X_0^*$	$\lambda_S$	$X_S^*$	$V^{(0)}$	0	$A^{(0)}$	0	$H^{(0)}$	0
$E_H$	$X_0^*$	$\lambda_S$	$X_S^*$	$V^{(0)}$	0	$A^{(0)}$	0	$\lambda_H$	$c_h(H^{(0)}) - \lambda_H$
$E_A$	$X_0^*$	$\lambda_S$	$X_S^*$	$V^{(0)}$	0	$\lambda_A$	$c_a(A^{(0)}) - \lambda_A$	$H^{(0)}$	0
$E_{AH}$	$X_0^*$	$\lambda_S$	$X_S^*$	$V^{(0)}$	0	$\lambda_A$	$c_a(A^{(0)}) - \lambda_A$	$\lambda_H$	$c_h(H^{(0)}) - \lambda_H$
$E_V$	$X_0^*$	$\lambda_S$	$X_S^*$	$\lambda_V$	$c_v(V^{(0)}) - \lambda_V$	$\bar{A}$	0	$\bar{H}$	0
$E_{VH}$	$X_0^*$	$\lambda_S$	$X_S^*$	$\lambda_V$	$c_v(V^{(0)}) - \lambda_V$	$\bar{A}$	0	$\lambda_H$	$c_h(\bar{H}) - \lambda_H$
$E_{VA}$	$X_0^*$	$\lambda_S$	$X_S^*$	$\lambda_V$	$c_v(V^{(0)}) - \lambda_V$	$\lambda_A$	$c_a(\bar{A}) - \lambda_A$	$\bar{H}$	0
$E_*$	$X_0^*$	$\lambda_S$	$X_S^*$	$\lambda_V$	$c_v(V^{(0)}) - \lambda_V$	$\lambda_A$	$c_a(\bar{A}) - \lambda_A$	$\lambda_H$	$c_h(\bar{H}) - \lambda_H$

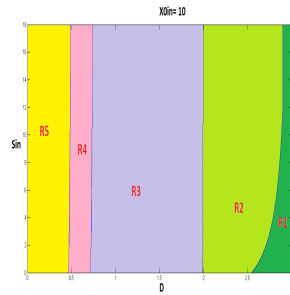
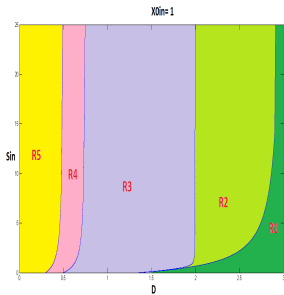
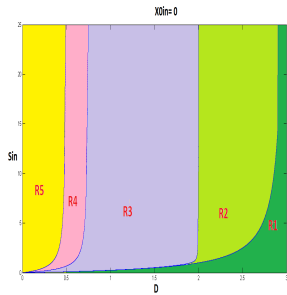
Sous les hypothèses **(H1)** - **(H4)**, on a

L'équilibre	Conditions d'existence	Conditions de S. Globale
$E_l$	toujours	$S_{in}^* < \lambda_S$
$E_0$	$S_{in}^* > \lambda_S$	$A^{(0)} < \lambda_A$ , $H^{(0)} < \lambda_H$ et $V^{(0)} < \lambda_V$
$E_H$	$H^{(0)} > \lambda_H$	$A^{(0)} < \lambda_A$ et $V^{(0)} < \lambda_V$
$E_A$	$A^{(0)} > \lambda_A$	$H^{(0)} < \lambda_H$ et $V^{(0)} < \lambda_V$
$E_{AH}$	$A^{(0)} > \lambda_A$ et $H^{(0)} > \lambda_H$	$V^{(0)} < \lambda_V$
$E_V$	$V^{(0)} > \lambda_V$	$\bar{A} < \lambda_A$ et $\bar{H} < \lambda_H$
$E_{VH}$	$V^{(0)} > \lambda_V$ et $\bar{H} > \lambda_H$	$\bar{A} < \lambda_A$
$E_{VA}$	$V^{(0)} > \lambda_V$ et $\bar{A} > \lambda_A$	$\bar{H} < \lambda_H$
$E_*$	$V^{(0)} > \lambda_V$ , $\bar{A} > \lambda_A$ et $\bar{H} > \lambda_H$	dès qu'il existe

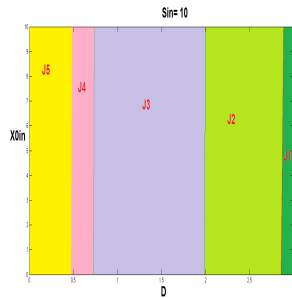
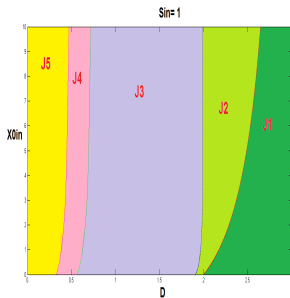
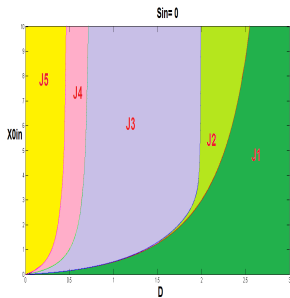
Le plan  $(D, S_{in})$  est divisé en cinq régions :

Condition	Région	$E_I$	$E_0$	$E_H$	$E_A$	$E_{AH}$	$E_V$	$E_{VH}$	$E_{VA}$	$E_*$
$S_{in} < F(D)$	$R_1$	S								
$S_{in} > F(D)$ et $S_{in} < K_H(D) + F(D)$	$R_2$	I	S							
$S_{in} > K_H(D) + F(D)$ et $S_{in} < K_A(D) + F(D)$	$R_3$	I	I	S						
$S_{in} > K_A(D) + F(D)$ et $S_{in} < K_V(D) + F(D)$	$R_4$	I	I	I	I	S				
$S_{in} > K_V(D) + F(D)$	$R_5$	I	I	I	I	I	I	I	I	S

# DIAGRAMME OPÉRATEUR DANS LE PLAN $(D, S_{in})$ , $X_{0in}$ FIXÉ



# DIAGRAMME OPÉRATEUR DANS LE PLAN $(D, X_{0in})$ , $S_{in}$ FIXÉ



$$(H1) \quad g_S(0) = 0 \text{ et } g'_S(\cdot) > 0 \text{ pour } S > 0.$$

$$(H5) \quad \forall V \geq 0 \text{ et } H \geq 0, g_V(0, H) = 0, g_V(V, 0) > 0, \\ \frac{\partial g_V}{\partial V}(V, H) > 0, \frac{\partial g_V}{\partial H}(V, H) < 0, \lim_{H \rightarrow +\infty} g_V(V, H) = 0.$$

$$(H6) \quad \forall A > 0, g_A(0) = 0, \lim_{A \rightarrow +\infty} g_A(A) = 0, \exists A_{max} > 0 / \\ \frac{dg_A}{dA}(A) > 0, 0 < A < A_{max} \text{ et } \frac{dg_A}{dA}(A) < 0, A > A_{max}.$$

$$(H7) \quad \forall H \geq 0 \text{ et } A \geq 0, g_H(0, A) = 0, g_H(H, 0) > 0, \\ \frac{\partial g_H}{\partial H}(H, A) > 0, \frac{\partial g_H}{\partial A}(H, A) < 0, \lim_{H \rightarrow +\infty} g_H(H, A) = 0.$$

$\lambda_V(H)$  et  $\lambda_H(A)$  sont solutions de  $g_V(\lambda_V(H), H) = D$  et  $g_H(\lambda_H(A), A) = D$ .  
 $\lambda_A^i, i = 1, 2$  sont solutions de l'équation  $g_A(A) = D$ , avec  $\lambda_A^1 < \lambda_A^2$ .

- Si  $X_S = 0$  alors  $V = A = H = 0$  et  $X_V = X_A = X_H = 0$ .
- Si  $X_S > 0$  alors  $X_0 = X_0^*$ ,  $S = S^* := \lambda_S$  et  $X_S = X_S^* := c_s(S_{in}^* - \lambda_S)$ .

$$\left\{ \begin{array}{l} \frac{dV}{dt} = D(V^{(0)} - V) - \frac{1}{c_v} g_V(V, H) X_V \\ \frac{dX_V}{dt} = (g_V(V, H) - D) X_V \\ \frac{dA}{dt} = D(A^{(0)} - A) + \gamma_{va} g_V(V, H) X_V - \frac{1}{c_a} g_A(A) X_A \\ \frac{dX_A}{dt} = (g_A(A) - D) X_A \\ \frac{dH}{dt} = D(H^{(0)} - H) + \gamma_{vh} g_V(V, H) X_V - \frac{1}{c_h} g_H(H, A) X_H \\ \frac{dX_H}{dt} = (g_H(H, A) - D) X_H. \end{array} \right. \quad (6)$$

avec  $V^{(0)} = \gamma_{sv} X_S^*$ ,  $A^{(0)} = \gamma_{sa} X_S^*$  et  $H^{(0)} = \gamma_{sh} X_S^*$ .



Le modèle avec inhibition possède douze points d'équilibres :

- Un équilibre  $E_1$  de lessivage de tous les espèces.
- Deux équilibres  $E_{11}$  et  $E_{12}$  de coexistence.
- Deux équilibres  $E_9$  et  $E_{10}$  de lessivage de  $X_H$ .
- Deux équilibres  $E_5$  et  $E_6$  de lessivage de  $X_V$ .
- Deux équilibres  $E_3$  et  $E_4$  de lessivage de  $X_H$  et  $X_V$ .
- Un équilibre  $E_2$  de lessivage de  $X_A$  et  $X_V$ .
- Un équilibre  $E_7$  de lessivage de  $X_A$  et  $X_H$ .
- Un équilibre  $E_8$  de lessivage de  $X_A$ .

L'équilibre	Conditions de stabilité locale
$E_1$	$V^{(0)} < \lambda_V^0, (A^{(0)} < \lambda_A^1 \text{ ou } A^{(0)} > \lambda_A^2) \text{ et } H^{(0)} < \lambda_H^0$
$E_2$	$V^{(0)} < \lambda_V(\lambda_H^0), (A^{(0)} < \lambda_A^1 \text{ ou } A^{(0)} > \lambda_A^2)$
$E_3$	$V^{(0)} < \lambda_V^0 \text{ et } H^{(0)} < \lambda_H^1$
$E_4$	toujours instable
$E_5$	$V^{(0)} < \lambda_V^1$
$E_6$	toujours instable
$E_7$	$(\hat{A} < \lambda_A^1 \text{ ou } \hat{A} > \lambda_A^2) \text{ et } \hat{H} < \lambda_H(\hat{A})$
$E_8$	$\hat{A} < \lambda_A^1 \text{ ou } \hat{A} > \lambda_A^2$
$E_9$	$\hat{H} < \lambda_H^1$
$E_{10}$	toujours instable
$E_{11}$	dès qu'il existe
$E_{12}$	toujours instable

$$g_S(S) = \frac{m_s S}{k_s + S}, g_A(A) = \frac{m_a A}{k_a + A + \frac{A^2}{k_I}},$$

$$g_V(V, H) = \frac{m_v V}{k_v + V + \mu_h H}, g_H(H, A) = \frac{m_h H}{k_h + H + \mu_a A}.$$

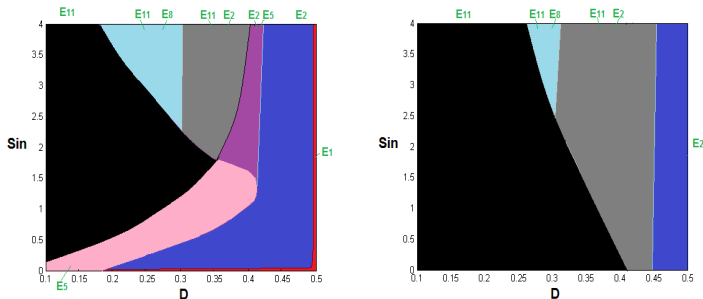


Figure 3 – Diagramme opératoire pour  $X_{0in} = 1$  à gauche et  $X_{0in} = 10$  à droite, avec  $\mu_a = \mu_h = k_I = 1$

MODÈLE AVEC HYDROLYSE MICROBIENNE AVEC  $r_0 = g_0(X_0)X_S$ ,  
 $g_V(V) = g_V(V, 0)$ ,  $g_H(H) = g_H(H, 0)$

### SOUS MODÈLE DU MODÈLE AVEC HYDROLYSE MICROBIENNE

$$\begin{cases} \frac{dX_0}{dt} = D(X_{0in} - X_0) - g_0(X_0)X_S \\ \frac{dS}{dt} = D(S_{in} - S) - \frac{1}{c_s}g_S(S)X_S + k_0g_0(X_0)X_S \\ \frac{dX_S}{dt} = (g_S(S) - D)X_S \end{cases} \quad (7)$$

On suppose que :

$$(H8) \quad \forall 0 < X_0 < X_{0in}, g_0(0) = 0, g'_0(X_0) > 0 \text{ et } g''_0(X_0) \leq 0 .$$

Sous les hypothèses **(H1)** et **(H8)**, on a

L'équilibre	Conditions d'existence	Conditions de S. Locale
$F_0 = (X_{0in}, S_{in}, 0)$	existe toujours	$S_{in} < \lambda_S$
$F_1^* = (X_0^*, \lambda_S, X_S^*)$	$S_{in} > \lambda_S$	dès qu'il existe

$$\zeta(X_0) = \frac{D(X_{0in} - X_0)}{g_0(X_0)}, \text{ pour } X_0 \in ]0, X_{0in}[,$$

$$\delta(X_0) = c_s[(S_{in} - \lambda_S) + k_0(X_{0in} - X_0)].$$

$X_0^*$  et  $X_0^{**}$  sont les solutions de  $\zeta(X_0) = \delta(X_0)$ , si elles existent.

$$X_S^* = \delta(X_0^*) \text{ et } X_S^{**} = \delta(X_0^{**}).$$

Sous les hypothèses **(H1)** et **(H8)**, on a

L'équilibre	Conditions d'existence	Conditions de S. Locale
$F_0 = (X_{0in}, S_{in}, 0)$	existe toujours	$S_{in} < \lambda_S$
$F_1^* = (X_0^*, \lambda_S, X_S^*)$	$S_{in} > \max(0, \bar{S}_{in})$	$\zeta'(X_0^*) < -c_s k_0$
$F_1^{**} = (X_0^{**}, \lambda_S, X_S^{**})$	$\max(0, \bar{S}_{in}) < S_{in}$ et $S_{in} < \lambda_S$	instable

L'équation  $\zeta'(X_0) = -c_s k_0$  admet une unique solution notée  $\bar{X}_0$ .

$$\bar{X}_S = \zeta(\bar{X}_0)$$

et

$$\bar{S}_{in} = \left( \frac{\bar{X}_S}{c_s} + k_0 \bar{X}_0 + \lambda_S \right) - k_0 X_{0in}.$$

Le modèle avec hydrolyse microbienne possède dix-sept équilibres :

- Un équilibre  $F_l$  de lessivage de toutes les espèces et de  $V$ ,  $A$  et  $H$ .
- Deux équilibres  $F_0^*$  et  $F_0^{**}$  de lessivage de toutes les espèces microbiennes.
- Deux équilibres de coexistence  $F^*$  et  $F^{**}$ .
- Deux équilibres  $F_{VA}^*$  et  $F_{VA}^{**}$  de lessivage de  $X_H$ .
- Deux équilibres  $F_{VH}^*$  et  $F_{VH}^{**}$  de lessivage de  $X_A$ .
- Deux équilibres  $F_{AH}^*$  et  $F_{AH}^{**}$  de lessivage de  $X_V$ .
- Deux équilibres  $F_V^*$  et  $F_V^{**}$  de lessivage de  $X_A$  et de  $X_H$ .
- Deux équilibres  $F_H^*$  et  $F_H^{**}$  de lessivage de  $X_A$  et de  $X_V$ .
- Deux équilibres  $F_A^*$  et  $F_A^{**}$  de lessivage de  $X_V$  et de  $X_H$ .

Sous les hypothèses **(H1)** - **(H4)** et **(H8)**, on a

L'équilibre	Conditions de stabilité locale
$F_l$	$S_{in} < \lambda_S$
$F_0^*$	$A^{(0)} < \lambda_A$ , $H^{(0)} < \lambda_H$ et $V^{(0)} < \lambda_V$
$F_H^*$	$A^{(0)} < \lambda_A$ et $V^{(0)} < \lambda_V$
$F_A^*$	$H^{(0)} < \lambda_H$ et $V^{(0)} < \lambda_V$
$F_{AH}^*$	$V^{(0)} < \lambda_V$
$F_V^*$	$\bar{A} < \lambda_A$ et $\bar{H} < \lambda_H$
$F_{VH}^*$	$\bar{A} < \lambda_A$
$F_{VA}^*$	$\bar{H} < \lambda_H$
$F^*$	dès qu'il existe



Sous les hypothèses **(H1)** - **(H4)** et **(H8)**, on a

L'équilibre	Conditions de stabilité locale
$F_l$	$S_{in} < \lambda_S$
$F_0^*$	$V^{(0)} < \lambda_V, A^{(0)} < \lambda_A$ et $H^{(0)} < \lambda_H$
$F_H^*$	$A^{(0)} < \lambda_A$ et $V^{(0)} < \lambda_V$
$F_A^*$	$H^{(0)} < \lambda_H$ et $V^{(0)} < \lambda_V$
$F_{AH}^*$	$V^{(0)} < \lambda_V$
$F_V^*$	$\bar{A} < \lambda_A$ et $\bar{H} < \lambda_H$
$F_{VH}^*$	$\bar{A} < \lambda_A$
$F_{VA}^*$	$\bar{H} < \lambda_H$
$F^*$	dès qu'il existe
$F_0^{**}, F_H^{**}, F_A^{**}, F_{AH}^{**},$ $F_V^{**}, F_{VH}^{**}, F_{VA}^{**}$ et $F^{**}$	Instables

Le plan  $(D, S_{in})$  est divisé en onze régions :

Région	$F_l$	$F_0^*$	$F_H^*$	$F_A^*$	$F_{AH}^*$	$F_V^*$	$F_{VH}^*$	$F_{VA}^*$	$F_*$
$R_1$	S								
$R_2$	I	S							
$R_3$	I	I	S						
$R_4$	I	I	I			I	S		
$R_5$	I	I	I	I	I	I	S		
$R_6$	I	I	I	I	I	I	I	I	S
$R_7$	I	I		I		I	I	I	S
$R_8$	I	I		I		I	S		
$R_9$	I	I				I	S		
$R_{10}$	I	I		S					
$R_{11}$	I	I		I		I		S	

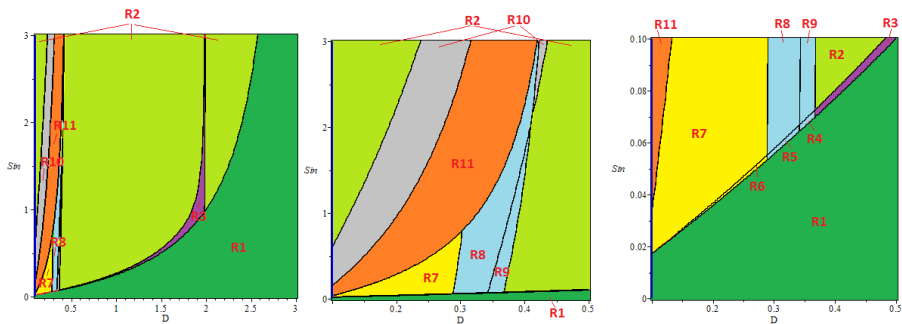


Figure 4 – Diagramme opératoire pour  $X_{0in} = 1$  et  $D \geq F_{01}$ .

$$g_0(X_{0in}) \leq \frac{D}{c_s k_0} \Leftrightarrow D \geq F_{01}$$

## Taux de biogaz produit

# LE TAUX DE MÉTHANE PRODUIT POUR LE MODÈLE AVEC HYDROLYSE ENZYMATIQUE SANS INHIBITION

$$Q_{CH_4} = \alpha_1 g_A (A|_{A=A^*}) X_{A|X_A=X_A^*} + \alpha_2 g_H (H|_{H=H^*}) X_{H|X_H=X_H^*}$$

avec  $\alpha_1 = \frac{1-c_a}{c_a}$  et  $\alpha_2 = \frac{1-c_h}{c_h}$ .

Équilibre	$Q_{CH_4}$
$E_l, E_0$ et $E_V$	0
$E_H$	$\alpha_2 c_h D(H^{(0)} - \lambda_H)$
$E_A$	$\alpha_1 c_a D(A^{(0)} - \lambda_A)$
$E_{AH}$	$\alpha_1 c_a D(A^{(0)} - \lambda_A) + \alpha_2 c_h D(H^{(0)} - \lambda_H)$
$E_{VH}$	$\alpha_2 c_h D(\bar{H} - \lambda_H)$
$E_{VA}$	$\alpha_1 c_a D(\bar{A} - \lambda_A)$
$E_*$	$\alpha_1 c_a D(\bar{A} - \lambda_A) + \alpha_2 c_h D(\bar{H} - \lambda_H)$

On rappelle  $\bar{A} = A^{(0)} + \gamma_{va} c_v (V^{(0)} - \lambda_V)$  et  $\bar{H} = H^{(0)} + \gamma_{vh} c_v (V^{(0)} - \lambda_V)$ .

# LE TAUX DE MÉTHANE PRODUIT POUR LE MODÈLE AVEC HYDROLYSE ENZYMATIQUE SANS INHIBITION

- 1 Si  $V^{(0)} > \lambda_V$ ,  $\bar{A} > \lambda_A$  et  $\bar{H} > \lambda_H$  alors le taux de méthane est maximal à l'équilibre  $E_*$ .
- 2 Si  $V^{(0)} < \lambda_V$ ,  $A^{(0)} > \lambda_A$  et  $H^{(0)} > \lambda_H$  alors le taux de méthane est maximal à l'équilibre  $E_{AH}$ .

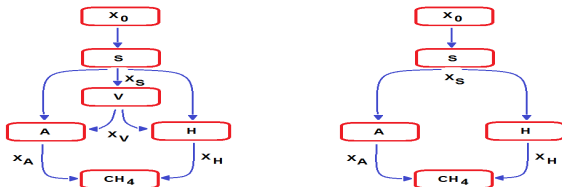


Figure 5 – Le flux de méthane dans le cas (1) à gauche et dans le cas (2) à droite

# LE TAUX DE MÉTHANE PRODUIT POUR LE MODÈLE AVEC HYDROLYSE ENZYMATIQUE SANS INHIBITION

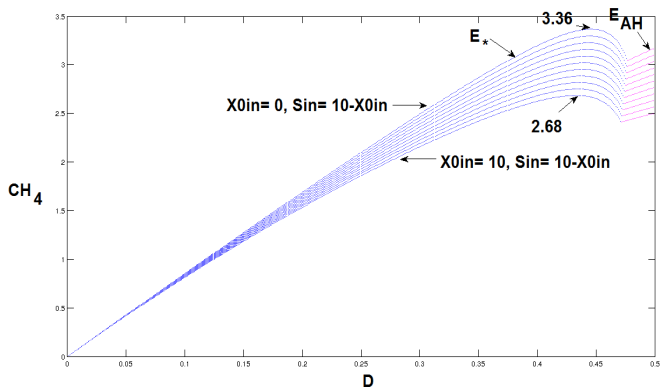


Figure 6 – La variation des taux de méthane pour  $S_{in} + X_{0in} = 10$ .

# LE TAUX D'HYDROGÈNE PRODUIT POUR LE MODÈLE AVEC HYDROLYSE ENZYMATIQUE SANS INHIBITION

$$Q_{H_2} = \alpha_3 g_S (S|_{S=S^*}) X_{S|X_S=X_S^*} + \alpha_4 g_V (V|_{V=V^*}) X_{V|X_V=X_V^*}$$

avec  $\alpha_3 = \frac{1-c_s}{c_s}$  et  $\alpha_4 = \frac{1-c_v}{c_v}$ .

Équilibre	$Q_{H_2}$
$E_l$	0
$E_0, E_H, E_A$ et $E_{AH}$	$\alpha_3 D X_S^*$
$E_V, E_{VH}, E_{VA}$ et $E_*$	$\alpha_3 D X_S^* + \alpha_4 D c_v (V^{(0)} - \lambda_V)$



Si  $V^{(0)} > \lambda_V$  alors le taux d'hydrogène produit est maximal à l'un des équilibres  $E_V, E_{VH}, E_{VA}$  ou  $E_*$  :

Condition	Équilibre
$\bar{A} < \lambda_A$ et $\bar{H} < \lambda_H$	$E_V$
$\bar{A} < \lambda_A$ et $\bar{H} > \lambda_H$	$E_{VH}$
$\bar{A} > \lambda_A$ et $\bar{H} < \lambda_H$	$E_{VA}$
$\bar{A} > \lambda_A$ et $\bar{H} > \lambda_H$	$E_*$

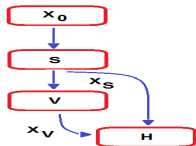


Figure 7 – Le flux d'hydrogène dans le cas  $V^{(0)} > \lambda_V$  et  $\bar{H} < \lambda_H$

Si  $V^{(0)} < \lambda_V$  alors le taux d'hydrogène produit est maximal à l'un des équilibres  $E_0, E_H, E_A$  ou  $E_{AH}$  :

Condition	Équilibre
$A^{(0)} < \lambda_A$ , $H^{(0)} < \lambda_H$ et $S_{in}^* > \lambda_S$	$E_0$
$A^{(0)} < \lambda_A$ et $H^{(0)} > \lambda_H$	$E_H$
$A^{(0)} > \lambda_A$ et $H^{(0)} < \lambda_H$	$E_A$
$A^{(0)} > \lambda_A$ et $H^{(0)} > \lambda_H$	$E_{AH}$

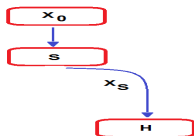


Figure 8 – Le flux d'hydrogène dans le cas  $V^{(0)} < \lambda_V$  et  $H^{(0)} < \lambda_H$

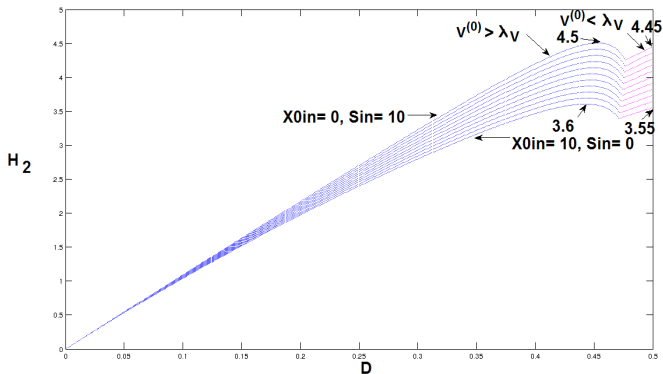


Figure 9 – La variation du taux d'hydrogène pour  $S_{in} + X_{0in} = 10$

# LE TAUX DE MÉTHANE PRODUIT POUR LE MODÈLE AVEC HYDROLYSE

MICROBIENNE DANS LE CAS  $g_0(X_{0in}) \leq \frac{D}{c_s k_0}$

$$Q_{CH_4} = \alpha_1 g_A(A|_{A=A^*}) X_{A|X_A=X_A^*} + \alpha_2 g_H(H|_{H=H^*}) X_{H|X_H=X_H^*}$$

Dans le cas  $V^{(0)} < \lambda_V$  :

Condition	Équilibre
$H^{(0)} > \lambda_H$ et $A^{(0)} > \lambda_A$	$F_{AH}^*$ ( $R_5$ ou $R_6$ )
$H^{(0)} > \lambda_H$ et $A^{(0)} < \lambda_A$	$F_H^*$ ( $R_3$ )
$H^{(0)} < \lambda_H$ et $A^{(0)} > \lambda_A$	$F_A^*$ ( $R_{10}$ )

Dans le cas  $V^{(0)} > \lambda_V$  :

Condition	Équilibre
$\bar{H} > \lambda_H$ et $\bar{A} > \lambda_A$	$F^*$ ( $R_6$ ou $R_7$ )
$V^{(0)} > \lambda_V$ , $\bar{H} < \lambda_H$ et $\bar{A} > \lambda_A$	$F_{VA}^*$ ( $R_{11}$ )
$V^{(0)} > \lambda_V$ , $\bar{H} > \lambda_H$ et $\bar{A} < \lambda_A$	$F_{VH}^*$ ( $R_4, R_5, R_8$ ou $R_9$ )

# LE TAUX DE MÉTHANE PRODUIT POUR LE MODÈLE AVEC HYDROLYSE MICROBIENNE

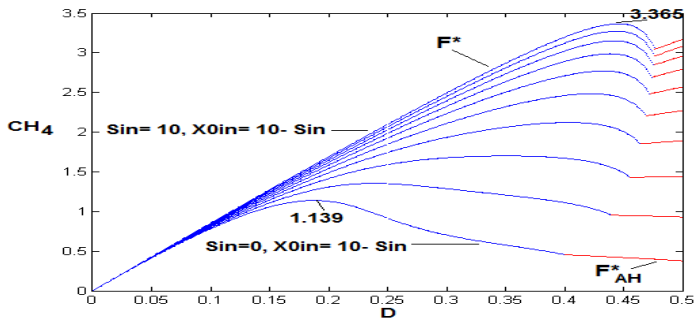


Figure 10 – La variation du taux de méthane pour  $S_{in} + X_{0in} = 10$

$$Q_{H2} = \alpha_3 g_S (S|_{S=S^*}) X_{S|X_S=X_S^*} + \alpha_4 g_V (V|_{V=V^*}) X_{V|X_V=X_V^*}$$

Dans le cas  $V^{(0)} < \lambda_V$  :

Condition	Équilibre
$S^{in} > \lambda_S$	$F_0^* (R_2)$
$H^{(0)} > \lambda_H$	$F_H^* (R_3)$
$A^{(0)} > \lambda_A$	$F_A^* (R_{10})$
$H^{(0)} > \lambda_H$ et $A^{(0)} > \lambda_A$	$F_{AH}^* (R_5 \text{ ou } R_6)$

Dans le cas  $V^{(0)} > \lambda_V$  :

Condition	Équilibre
$\bar{H} > \lambda_H$ et $\bar{A} > \lambda_A$	$F^* (R_6 \text{ ou } R_7)$
$\bar{A} > \lambda_A$	$F_{VA}^* (R_{11} \text{ où } \bar{H} < \lambda_H)$
$\bar{H} > \lambda_H$	$F_{VH}^* (R_4, R_5, R_8 \text{ ou } R_9 \text{ où } \bar{A} < \lambda_A)$
$\bar{H} < \lambda_H$ et $\bar{A} < \lambda_A$	$F_V^* ( \text{existe dans } R_4, R_5, R_6, R_7, R_8, R_9 \text{ ou } R_{11} )$

# LE TAUX D'HYDROGÈNE PRODUIT POUR LE MODÈLE AVEC HYDROLYSE MICROBIENNE

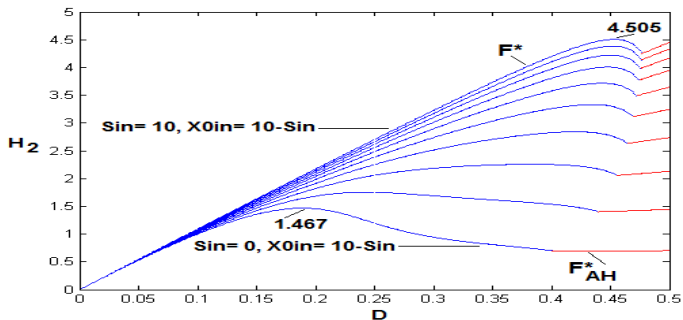


Figure 11 – La variation du taux d'hydrogène pour  $S_{in} + X_{0in} = 10$ .

$$Q_{CH_4} = \alpha_1 g_A(A|_{A=A^*}) X_A|_{X_A=X_A^*} + \alpha_2 g_H(H|_{H=H^*}, A|_{A=A^*}) X_H|_{X_H=X_H^*}$$

- 1 Si  $A^1 > \max(\lambda_A^1, A^{(0)})$  et  $H^1 > \max(\lambda_H^1, H^{(0)})$ , le taux maximal du méthane produit est donné par l'équilibre  $E_{11}$ .
- 2 Si  $A^{(0)} > \max(\lambda_A^1, A^1)$  et  $H^{(0)} > \max(\lambda_H^1, H^1)$ , le taux maximal du méthane produit est donné par l'équilibre  $E_5$  ( $X_V$  est lessivée).

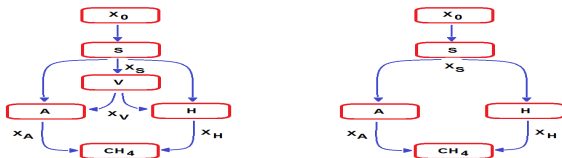


Figure 12 – Le flux de méthane



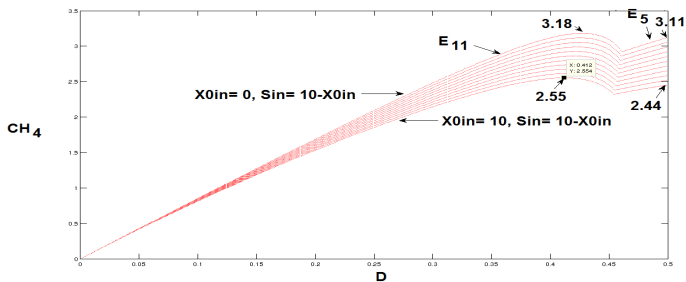


Figure 13 – La variation du taux du méthane pour  $S_{in} + X_{0in} = 10$ ,  $\mu_h = \mu_a = 1$  et  $k_I = 100$

$$Q_{H_2} = \alpha_3 g_S (S|_{S=S^*}) X_S|_{X_S=X_S^*} + \alpha_4 g_V (V|_{V=V^*}, H|_{H=H^*}) X_V|_{X_V=X_V^*}$$

- 1 Si  $V^{(0)} < \hat{V}$ ,  $V^{(0)} < \check{V}$  et  $V^{(0)} < \lambda_V^1$ , le taux maximal de  $H_2$  est donné par l'un des équilibres  $E_1$ ,  $E_2$ ,  $E_3$  ou  $E_5$ .
- 2 Si  $V^{(0)} > \hat{V}$ ,  $V^{(0)} < \check{V}$  et  $V^{(0)} < \lambda_V^1$ , le taux maximal de  $H_2$  est donné par  $E_7$  ou  $E_9$ .
- 3 Si  $V^{(0)} < \hat{V}$ ,  $V^{(0)} > \check{V}$  et  $V^{(0)} < \lambda_V^1$ , le taux maximal de  $H_2$  est donné par l'équilibre  $E_8$ .

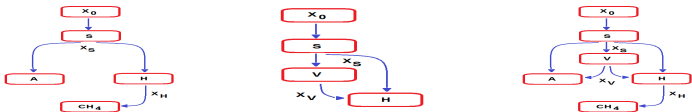


Figure 14 – Le flux d'hydrogène

# Conclusion :

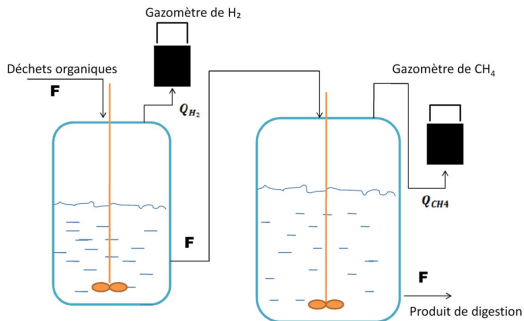
- Étude mathématique d'un modèle du chémostat avec **dégradation enzymatique** du substrat (matière organique) qui peut être sous forme **solide**.
- L'étude du modèle à trois étapes sans compartiment microbien hydrolytique est déduite du **modèle AM2**.
- L'étude du modèle à trois étapes avec compartiment microbien hydrolytique est déduite du **sous-modèle**.
- Le système peut présenter la **bistabilité** avec **un taux de croissance monotone** et des concentrations du substrat à l'entrée du chémostat inférieur au seuil de rentabilité.
- Dans le modèle classique du chémostat : le lessivage est l'unique point d'équilibre qui attire toutes les solutions.
- D'où l'importance de l'hydrolyse dans l'apparition des équilibres strictement positifs et la **bistabilité**.

- Tenir compte des bactéries qui dégradent la matière organique pour produire du substrat simple influe sur la stabilité des équilibres.
- Du modèle avec hydrolyse enzymatique vers le modèle avec compartiment hydrolytique microbien, sans inhibition, l'équilibre de l'extinction des  $X_V$  qui était stable devient instable et les équilibres correspondant à l'extinction des  $X_V$  et des  $X_H$ , ou à l'extinction des  $X_A$ , ou à l'extinction des  $X_H$  qui étaient instables deviennent stables.
- La modélisation de l'hydrolyse influe sur le comportement du système d'où l'importance de la prise en compte de l'étape d'hydrolyse dans les modèles de la D. A.

- L'ajout de l'inhibition influe sur la stabilité des équilibres.
- L'augmentation des concentrations à l'entrée pour un modèle avec hydrolyse enzymatique favorise l'augmentation du biogaz produit.
- Le modèle sans inhibition produit plus de biogaz que le modèle avec inhibition.
- Pour des concentrations à l'entrée fixées, il existe un taux de dilution qui maximise le taux de méthane. Pour ce taux, la concentration des  $X_A$  augmente et celle de  $A$  deviennent assez faibles, ce qui affaiblit l'inhibition des  $X_H$  qui sont les producteurs de  $CH_4$ .
- Pour le  $H_2$  produit, il existe un taux de dilution qui maximise le taux de  $H_2$ , pour des concentrations des  $X_H$  très faibles.
- Du point de vue opératoire, on peut agir sur le taux de dilution pour éviter les régions de bistabilité.

# Biogas optimisation

- A model describing a process operating in two bioreactors in series to maximize the rates of hydrogen and methane produced. <sup>6</sup>



# Hydrogen production model in $BR_1$

$$\left\{ \begin{array}{l} \frac{dS_0}{dt} = -D_1 S_0 - \beta X_1 S_0 + D_1 Y_P S_0^{in} \\ \frac{dS_1}{dt} = -D_1 S_1 + \beta X_1 S_0 - \frac{\mu(S_1)}{Y_1} X_1 \\ \frac{dX_1}{dt} = (\mu(S_1) - D_1) X_1 \\ \frac{dPr_1}{dt} = \frac{\mu(S_1)}{Y_{Pr_1}} X_1 - D_1 Pr_1 \\ \frac{dBut_1}{dt} = \frac{\mu(S_1)}{Y_{But_1}} X_1 - D_1 But_1 \\ \frac{dAc_1}{dt} = \frac{\mu(S_1)}{Y_{Ac_1}} X_1 - D_1 Ac_1. \end{array} \right.$$

- $D_1$  is the dilution rate.
- $S_0^{in}$  is the effluent substrate concentration in  $BR_1$ .
- $S_0$  is the substrate (cellulose) concentration.
- $S_1$  is the substrate (cellobiose) concentration, obtained by transformation of  $S_0$  after hydrolysis.
- $Pr_1$ ,  $But_1$  and  $Ac_1$  are the produced propionate, butyrate and acetate concentrations.
- $X_1$  is the acedogenic concentration.
- $\mu$  is the specific growth rate of acedogenic bacteria.
- $\beta$ ,  $Y_1$ ,  $Y_{Pr_1}$ ,  $Y_{But_1}$  and  $Y_{Ac_1}$  are yield coefficients.



# Methane production model in $BR_2$

$$\left\{ \begin{array}{l} \frac{dPr_2}{dt} = D_2(Pr_1 - Pr_2) - \frac{\mu_{Pr}(Pr_2)}{Y_{Pr_2}} X_{Pr} \\ \frac{dX_{Pr}}{dt} = (\mu_{Pr}(Pr_2) - D_2) X_{Pr} \\ \frac{dBut_2}{dt} = D_2(But_1 - But_2) - \frac{\mu_{But}(But_2)}{Y_{But_2}} X_{But} \\ \frac{dX_{But}}{dt} = (\mu_{But}(But_2) - D_2) X_{But} \\ \frac{dAc_2}{dt} = D_2(Ac_1 - Ac_2) + \frac{\mu_{Pr}(Pr_2)}{Y_{Pr_2}} X_{Pr} + \frac{\mu_{But}(But_2)}{Y_{But_2}} X_{But} - \frac{\mu_{Ac}(Ac_2)}{Y_{Ac_2}} X_{Ac} \\ \frac{dX_{Ac}}{dt} = (\mu_{Ac}(Ac_2) - D_2) X_{Ac} \end{array} \right. \quad (2)$$

# The methane production model in $BR_2$

- $D_2$  is the dilution rate in  $BR_2$ .
- $Pr_2$  and  $Pr_1$  are the propionate concentrations.
- $But_2$  and  $But_1$  are the butyrate concentrations.
- $Ac_2$  and  $Ac_1$  are the acetate concentrations.
- $X_{Pr}$  and  $X_{But}$  are the propionate and the butyrate degrading bacteria concentration, resp.
- $X_{Ac}$  is the methanogenic bacteria concentration.
- $\mu_{Pr}$  and  $\mu_{But}$  are the specific growth rates of propionate and butyrate degrading bacteria, resp.
- $\mu_{Ac}$  is the specific growth rate of methanogenic bacteria.
- $Y_{Pr_2}$  ,  $Y_{But_2}$  and  $Y_{Ac_2}$  are yield coefficients.

# Two-phase AD model

- Qualitative study of the two-phase system behavior.
- Determination of the hydrogen (resp. methane) rates in the first (resp. second) bioreactor, depending on the operating parameters.
- The rate of biogas is **maximal** in an equilibrium where all biomasses are present.

- These models take into account various situations that can be found in natural environments as well as in bioreactors.
- The mathematical analysis of these models plays an important role in understanding and interpreting the phenomena and interactions observed in the real AD systems and provides qualitative information about the main variables.
- Theory and experimentation must exchange and share their respective knowledge, for a better performance of the AD systems.

# References

- Y. Daoud - Thèse de doctorat : Analyse de modèles de la digestion anaérobie : Application à la modélisation et au contrôle des bioréacteurs, ENIT & Université de Montpellier, (2017).
- Y. Daoud, N. Abdellatif, T. Sari, J. Harmand " Steady state analysis of a syntrophic model :The effect of a new input substrate concentration, Mathematical modeling of natural phenomena, 13, (3), 31, (2018).
- Y. Daoud, N. Abdellatif, J. Harmand, Modèles mathématiques de digestion anaérobie : effet de l'hydrolyse sur la production du biogaz, ARIMA Journal, Vol 28 (2019).
- N. Mejri - Mastère de recherche : Modélisation mathématique d'un système de digestion anaérobie à deux phases avec production d'hydrogène et de méthane, LAMSIN, ENIT & FST, (2019)

*Merci pour votre attention*